

## PROPUESTA DE UNA POLIGONAL MUNICIPAL Y CATASTRAL PARA EL MUNICIPIO MARIO BRICEÑO IRAGORRY

---

Ing. Agr. Jesús González  
Instituto de Ingeniería Agrícola  
Facultad de Agronomía, campus Maracay  
Universidad Central de Venezuela  
jesusgonzalezzambrano@gmail.com

Recepción: 06 de Junio de 2018 / Aceptación 10 de Noviembre de 2018  
**Información, Tecnología y Empresa**

---

### Resumen

La determinación de las poligonales urbanas dentro de los municipios permite indudablemente una mejora considerable para la gestión del territorio. Sobre todo en este municipio donde el desmesurado crecimiento poblacional ha traído como consecuencia la pérdida de 22.89 hectáreas de parque Nacional Henry Pittier. En este sentido esta investigación realiza dos propuestas de poligonales una catastral colindante con el parque nacional, y otra de los linderos municipales de Mario Briceño Iragorry. Mediante la aplicación de las técnicas y criterios para la demarcación de Contextos territoriales del Instituto Geográfico de Venezuela Simón Bolívar, y a través de la interpretación de imágenes satelitales compuestas del programa Google Earth. Incluyendo un nuevo criterio como el de la línea de pendiente uniforme. La redacción de los vértices de las poligonales contempló la información geométrica de las coordenadas, la dirección del rumbo, y las alturas sobre el nivel del mar. Determinando de una forma más exacta las áreas: de parque nacional, urbanas, militares, colindantes municipales y parroquiales. Manejado bajo un sistema de Información municipal. De igual forma se definieron las áreas recuperables para el parque y las que han sido invadidas, no contempladas en la poligonal actual de los linderos.

**Palabras Claves:** Poligonal Catastral, Ordenación del territorio, Planes de Ordenación, Catastro, Red Geodésica Municipal, parque Nacional Henri Pittier.

**THE SANITARIY CERTIFICATE FOR  
AGRICULTURAL PRODUCTS. AN  
INSTRUMENT TO REINFORCE THE  
SECTOR**

**PROPOSITION D'UNE POLYGONALE  
MUNICIPALE ET CADASTRALE POUR  
LA MUNICIPALITÉ MARIO BRICEÑO  
IRAGORY**

**Abstract**

Defining the urban perimeters that exist in municipalities undoubtedly provides for a considerable improvement in the management of territories. This is particularly true in this municipality where the disproportionate growth of population has consequently brought the loss of 22.89 hectares of the Henri Pittier National Park. In this sense, in this investigation, two polygonal proposals were made; one cadastral, adjacent to the national park, and another one of the municipal boundaries of the municipality of Mario Briceño Iragorry. This was achieved by applying the techniques and criteria for the demarcation of territorial contexts provided by the Simón Bolívar Geographical Institute of Venezuela, and through the interpretation

**Résumé**

La détermination des polygones urbaines dans les municipalités permet sans aucun doute une amélioration considérable pour la gestion du territoire, notamment dans cette municipalité où la croissance démesurée de la population a entraîné comme conséquence la perte de 22.89 hectares du Parc National Henri Pittier. Dans ce sens, cette recherche fait deux propositions de polygones: une cadastrale contigue au parc national, et l'autre polygonale contigue aux limites de Mario Briceño Iragorry, à travers l'application de techniques et de critères pour la démarcation de contextes territoriaux de l'Institut Géographique du Venezuela Simón Bolívar, et à travers l'interprétation des images satellites composées du Programme

---

of composed satellite images by the Google Earth program. It also included a new criterion such as that of the uniform slope line. The definition of the polygonal vertices contemplated the geometric information of the coordinates, the course of direction, and the heights above sea level for the cadastral polygon. This allowed researchers to obtain a more accurate definition of areas: national park, urban, military, adjacent municipal and parochial areas, managed under a municipal Information system. In addition, recoverable areas for the national park were identified, as well as those areas that have been invaded, which were not contemplated in the current polygonal of borders.

**Keywords:** Cadastral polygon, Territorial planning, Management plans, Cadastre, Geodesic network, Henri Pittier National Park.

Google Earth, en incluant un nouveau critère comme celui de la ligne de pente uniforme. La rédaction des sommets des polygonales a considéré l'information géométrique des coordonnées, la direction du cours et les hauteurs au dessus du niveau de la mer, déterminant d'une manière plus exacte les aires : parc national, urbaines, militaires, contigues municipales et paroissiales, tout en étant géré sous un système d'information municipale. De la même manière, on a définit les aires récupérables pour le parc et celles qui n'ont pas été envahies, et qui ne sont pas considérées dans la polygonale actuelle des limites.

**Mots-clés:** Polygonale cadastrale, organisation du territoire, plans d'organisation, cadastre, réseau géodésique municipal, Parc National Henri Pittier.

## Introducción

La falta de planificación urbana es un problema común que se repite en los países de América latina, lo que ha influido en su deterioro urbano y en la calidad de vida de los habitantes. Como consecuencia de esto se han generado cordones de miseria en las grandes ciudades (Boville, 2007).

La ordenación territorial no ha sido tomada como una práctica primordial dentro de la gestión municipal y estatal. Así lo afirma Salas (2011), “la ordenación del territorio en Venezuela constituye una política pública y una práctica administrativa actualmente debilitada por un conjunto de problemas cuya resolución es una de las claves para el desarrollo nacional.” (p.20)

Es por eso que es necesaria una adecuación de las instituciones a las nuevas tecnologías (Primera, López y Montes de Oca, 2000) ya que en su gran mayoría carecen de recursos suficientes para tener una plataforma informática que permita mejorar la gestión catastral.

La ordenación del territorio en Venezuela está regida por los planes Nacionales, Estadales y Municipales. Que en su mayoría fueron elaborados hace más de 20 años y en algunos casos de algunas regiones no existen. Asimismo, las poligonales se definieron vagamente bajo el Datum la Canoa 1956, siendo hoy en día insuficientes para diferenciar las áreas urbanas de las rurales.

En el caso del estado Aragua la mayoría de los municipios carecen de poligonales catastrales, que ayuden en la determinación de políticas urbanas acordes para los planes de desarrollo, sobre todo para la definición entre los linderos urbanos y rurales muy importantes para la recolección de impuestos y valoración de los predios González (2009).

Actualmente, al norte del municipio entre el parque nacional Henri Pittier y las parcelas colindantes existe un conflicto de uso de la tierra debido a un vacío de información de la definición exacta de los linderos. Esto se debe en parte por descuido de las autoridades al no definir la jurisdicción del municipio.

Según (Arretureta ,2002), esta ambigüedad ha fomentado e inducido a la invasión de los terrenos del parque, dado que los vecinos colindantes dicen no están seguros de los mismos.

Esta situación ha traído como consecuencia una serie de problemas trascendentales a nivel social y ambiental, en algunos sectores de la periferia urbana del municipio, como son los sectores de Valle Verde, El Piñal y Corral de Piedra. (Arretureta, 2002).

En el sector de Valle Verde el parque presenta un área afectada de 223,70m<sup>2</sup>, en el sector del El Piñal presenta un área afectada de 1788,34m<sup>2</sup>, y en el sector de Corral de Piedra el mayor afectado con una superficie de 3,21 ha. (Arretureta, 2002).

Por esto, se planteó, una metodología del trazado de una poligonal catastral para la delimitación precisa del área urbana, del parque y de los linderos municipales, similar a la planteada por (Azpúrua 1995, Estrada 2012 y Navas 1970).

Es importante que el municipio tenga claramente definido los linderos de su territorio y de las poligonales existentes de forma clara y precisa, que sirva de punto de partida para la elaboración de los planes de desarrollo urbano local (PDUL). Además para la determinación del uso de la tierra en los linderos del parque Nacional Henri Pittier.

La propuesta de las poligonales será considerada en la cámara municipal del municipio para su discusión y aprobación.

### **Materiales y Metodos**

Se utilizó la metodología de los criterios de delimitación espacial, de acuerdo a los procedimientos establecidos en la Guía de Delimitación y Demarcación de Contextos territoriales del Instituto Geográfico de Venezuela Simón Bolívar. (IGVSB). Así mismo, se usó el criterio de Línea de pendiente uniforme planteado por Navas (1970).

Se realizó en las siguientes fases:

#### **Recopilación de la información territorial cartográfica, imágenes satelitales, trabajos de estudios, datos estadísticos entre otros**

Los datos utilizados de fuentes bibliográficas, fueron obtenidos de trabajos de investigación provenientes de las bibliotecas de las diferentes casas de estudios del país. Dentro de las fuentes de trabajos de investigación consultados tenemos: Investigaciones de pregrado, postgrado y trabajos de ascenso, publicaciones arbitradas así como revistas científicas relacionadas con el tema.

#### **Selección de la base cartográfica requerida y la escala de trabajo**

Haciendo una revisión de todo el material cartográfico existente de: cartas topográficas, planos e imágenes satelitales de la zona, se seleccionó una superposición de imágenes incorporadas dentro del programa Google Earth. Las cuales presentaron un alto nivel de actualización del área y una buena resolución espacial, proporcionando una escala visual

entre 1:1.000 y 1:1.500, adecuadas para este estudio. Además de las características de escasa nubosidad y vegetación, debido al periodo seco presente en dicha fecha. Todas estas características mencionadas permitieron obtener una buena definición visual de los linderos catastrales en el Parque Nacional Henri Pittier y en zonas urbanas.

### **Procesamiento de la data y transformación entre los diferentes formatos**

Para la obtención del Modelo de Elevación Digital, se digitalizó la carta de MINDUR (antiguo Ministerio de Desarrollo Urbano) de la ciudad de Maracay, elaborada en el año 1992 a escala 1:5.000 Datum PSAD 56 (La Canoa), a través de un programa de diseño. En el cual se realizó la digitalización y transformación de Datums, obteniéndose un archivo a curvas de nivel del municipio en formato (\*.dwg) de Coordenadas UTM Datum SIRGAS REGVEN. Luego este archivo se llevó al formato (\*.kml) que es el usado por algunos sistemas de información y por el programa Google Earth, mediante un Sistema de Información Geográfica.

De igual forma se transformaron los archivos en formato Shapefile (\*.shp) de la poligonal de los linderos del parque al formato usado por el programa Google Earth (\*.kml). Lo que permitió la interpretación y manipulación en el mismo.

Procesos de transformación y metodologías análogas son planteadas por (Mislser 2000, Lunar 1986, Flores 2006).

### **Trazado y redacción de la Poligonal**

Los tipos de límites utilizados fueron dos: terrestres montañosos y culturales. Dentro de los terrestres montañosos usamos los siguientes: línea de Cota, línea recta, línea de piedemonte, línea de pendiente uniforme y línea divisoria de agua. Y para los límites culturales se usaron los siguientes criterios: medio de vías, brocal y el lindero de fondo de las parcelas.

Con la información de la capa de curvas de nivel, la poligonal actual del Parque Nacional Henri Pittier y las imágenes satelitales, se procedió al trazado en el programa Google Earth, definiendo la poligonal de tal forma de colocar la menor cantidad de puntos. De igual forma se extrajo: la información descriptiva de los puntos, la posición de las coordenadas de la fuente cartográfica y las cotas de la capa del MDE (Modelo Digital de Elevación). Usando el Datum Oficial SIRGAS-REGVEN. WGS-84.

Los atributos usados para la descripción de la poligonal de los puntos fueron: nombre del punto, Coordenadas UTM REGVEN, la altura a la cual se encuentra el punto, el criterio de delimitación y la dirección del rumbo.

Los criterios usados para los límites terrestres montañosos fueron: **Línea recta**, empleado para definir los tramos entre los puntos en donde la topografía y las parcelas circundantes se adecuaban a este, por ejemplo en los linderos contiguos de las parcelas que colindan directamente con el parque. Pudiendo ser en ascenso o descenso dependiendo del caso. **Línea de cota** fue un criterio usado para definir los tramos entre puntos en donde la topografía y las parcelas circundantes mantienen la misma altura durante todo el tramo. Este último criterio permitió tramos de mayores distancias en el trazado.

**Línea de pendiente uniforme**, criterio propuesto por Navas (1970) y usado para definir los tramos entre los puntos en donde la topografía y las parcelas circundantes permitían un desnivel constante entre dos puntos, donde un tramo recto o a nivel era imposible.

Al respecto, (Azpúrua 1995, Estrada 2012) usan los criterios de: línea de pendiente uniforme, línea de cota, línea de piedemonte y línea divisora de agua, para la delimitación del área urbana del norte de Valencia y del parque nacional San Esteban colindante.

Por último el uso de la **línea divisoria de agua**, unos de los criterios usados para la demarcación de la poligonal municipal para la división político territorial de los municipios colindantes a través del parte de aguas de la cuenca del río El Limón en el parque Nacional Henri Pittier.

### **Verificación en campo e interpretación de las imágenes**

Se realizó un recorrido por la zona de estudio de la poligonal catastral, para constatar los linderos de las parcelas colindantes con el parque. En las áreas donde se tuviera duda con respecto a la interpretación de las imágenes, como: árboles, distorsiones y manchas. Se tomaron puntos con un receptor GPS (Sistema de Posicionamiento Global, por sus siglas en inglés) marca Garmin modelo CX60, lo que permitió comparar con los puntos realizados en el programa Google Earth y la realidad del campo. Además, se identificaron las zonas que presentan construcciones ilegales dentro del parque y las propensas a serlo.

Un resumen esquemático de las etapas llevadas a cabo es el que se aprecia en la gráfico





Gráfico 1. Esquema metodológico desarrollado en esta investigación. Fuente: Elaboración propia.2018.

## Resultados y discusión

1.

### Poligonal catastral propuesta zonas colindantes

La poligonal catastral propuesta consta de 222 vértices enumerados en el orden horario, comprendiendo los sectores de Arias Blanco, Los Rauseos, Corral de Piedra, El Piñal, Valle Verde, Las Tejerías, Las Mayas, Niño de Jesús, El Paseo, Caña de Azúcar, José Félix Ribas, El Arsenal, La Candelaria, Mata Seca. Con un área de 1544 hectáreas, definida por los fondos de las casas o parcelas en la mayor parte del trazado de acuerdo a los criterios que más se





Gráfico 2. Poligonal Los Rauseos y el Piñal colindantes con el Parque Nacional Henri Pittier. Fuente: Elaboración propia.2018.  
adaptaban a la topografía del trazado. Como se aprecia en la gráfico 2.

### Poligonal catastral propuesta zona colindante con Girardot

En las áreas colindantes urbanas en el sur y oeste, se mantuvo el trazado por el fondo de las casas o parcelas, y no por la mitad de las parcelas como estaba definido anteriormente. De esta forma se determinaron los predios pertenecientes a un municipio y a otro. Como se puede



Gráfico 3. PPoligonal José Feliz Ribas y La Comoto. Fuente: Elaboración propia.2018.



apreciar en la Gráfico 3.

### Áreas ganadas y pérdidas de parque con esta propuesta

Con esta poligonal catastral propuesta, las áreas ganadas al parque representadas en color verde serian de 85.10 ha., mientras las pérdidas para el parque representadas en color rojo son equivalentes a 22.89 ha aproximadamente. Siendo estas por el establecimiento de predios e invasiones dentro del parque. El área total que se gana dentro de este municipio para



Gráfico 4. Superficies ganadas y pérdidas el Parque Nacional Henri Pittier. Fuente: Elaboración propia.2017



Gráfico 5. Áreas pérdidas y ganadas del Sector Candelaria. Fuente: Elaboración propia.2017



Gráfico 6. Áreas pérdidas y ganadas del Sector El Piñal. Fuente: Elaboración propia.2017

el parque es de 62.21 ha. (Ver Gráfico 4, 5 y 6).

### **Redacción de la poligonal catastral para el municipio coordenadas DATUM SIRGAS REGVEN, elipsoide WGS 80 propuesta como Poligonal Catastral**

Comenzando, por el **NORTE** colindante con el parque Nacional Henri Pittier. (coordenadas UTM-REGVEN Huso N° 19 Esferoide Internacional, y cotas expresadas en metros sobre el nivel del mar m.s.n.m.): Desde el punto **P1** de coordenadas **N:1.140.672,54 - E:648.500,69 - C:517,4**, asciende en línea recta en dirección noreste hasta el punto **P2** de coordenadas **N:1.140.735,46-E:648.549,31-C:518,8**, sigue por la quebrada Los Rauseos hasta el punto **P3** de coordenadas **N:1.140.735,46-E:648.549,31-C:535,0**, continua ascendiendo por la quebrada hasta el punto **P4** de coordenadas **N:1.141.004,44-E:648.774,83-C:549,7**, de allí sigue con dirección noreste en línea recta hasta el punto **P5** de coordenadas **N:1.141.083,38-E:648.872,74-C:556,7**, se mantiene en línea recta en dirección sureste hasta el punto **P6** de coordenadas **N:1.141.032,34-E:648.929,80-C:545,1**, ubicado en la quebrada el Corozo, de allí comienza a descender por la quebrada hasta el punto **P7** de coordenadas **N:1.140.845,23-E:648.944,00-C:529,5**, luego asciende en línea recta con dirección este franco hasta el punto **P8** de coordenadas **N:1.140.847,50-E:649.057,63-C:541,3**, continua en línea recta al punto **P9** de coordenadas **N:1.140.815,51-E:649.066,96-C:538,6**, prosigue en línea recta con dirección este franco hasta el punto **P10** de coordenadas **N:1.140.817,93-E:649.206,45-C:544,7**, se prolonga en línea recta con dirección noreste hasta el punto **P11** de coordenadas **N:1.140.882,71-E:649.299,32-C:546,4**, ubicado en la quebrada Corral de Piedras, prosigue en línea recta con dirección noreste hasta un punto en la quebrada Corral de Piedras **P12** de coordenadas **N:1.141.039,90-E:649.344,29-C:550,0**, cambia en línea recta con dirección este franco al punto **P13** de coordenadas **N:1.141.027,76-E:649.441,08-C:559,0**, desciende en línea recta con dirección sureste hasta el punto **P14** de coordenadas **N:1.140.868,01-E:649.517,92-C:541,3**. Prosigue en línea recta con dirección noreste hasta llegar al punto **P15** de coordenadas **N:1.140.905,30-E:649.576,18-C:549,5**, de allí continua en línea recta con dirección sureste hasta el punto **P16** de coordenadas **N:1.140.818,23-E:649.659,12-C:547,1**, se mantiene con la misma dirección en línea recta hasta el punto **P17** de coordenadas **N:1.140.717,72-E:649.691,95-C:545,0**, en la nariz del cerro, de allí permanece en curva de nivel hasta el punto **P18** de coordenadas **N:1.140.757,06-E:649.730,24-C:545,4**, desciende a la quebrada El Piñal hasta el punto **P19** de coordenadas **N:1.140.750,52-E:649.748,48-C:535,6**, de allí asciende por dicha quebrada hasta el punto **P20** de coordenadas **N:1.140.850,62-E:649.824,39-C:545,0**, luego continua en línea recta con dirección noreste

hasta el punto **P21** de coordenadas **N:1.140.875,43-E:649.837,50-C:548,2**, se mantiene con la misma dirección hasta el punto **P22** de coordenadas **N:1.140.908,09-E:649.860,52-C:549,6**, de allí se prorroga en línea recta con dirección sur este hasta el punto **P23** de coordenadas **N:1.140.906,10-E:649.864,34-C:550,1**, cambia en línea recta con dirección noreste hasta el punto **P24** de coordenadas **N:1.140.976,62-E:649.904,11-C:555,9**, de allí se prolonga en línea recta con dirección sureste hasta llegar al punto **P25** de coordenadas **N:1.140.945,65-E:649.958,32-C:555,5**, igualmente con dirección noreste hasta el punto **P26** de coordenadas **N:1.140.967,02-E:649.966,10-C:557,3**, de allí en línea recta y con dirección sureste los punto **P27** de coordenadas **N:1.140.957,10-E:649.991,11-C:560,0**, **P28** de coordenadas **N:1.140.950,82-E:650.012,33-C:560,1**, **P29** de coordenadas **N:1.140.917,35-E:650.110,61-C:558,8**, hasta el punto **P30** de coordenadas **N:1.140.866,71-E:650.185,39-C:552,7**.

Final del lindero Norte.

**POR EL ESTE:** Desde el punto anteriormente descrito en línea recta y con dirección suroeste hasta el punto **P31** de coordenadas **N:1.140.754,01-E:650.144,30-C:546,6**, de allí en línea recta con dirección sureste hasta el punto **P32** de coordenadas **N:1.140.719,63-E:650.217,15-C:550,0**, permanece en línea recta con dirección sureste hasta el punto **P33** de coordenadas **N:1.140.644,76-E:650.166,27-C:545,0**, **P34** de coordenadas **N:1.140.618,09-E:650.227,97-C:545,1**, hasta el **P35** de coordenadas **N:1.140.509,31-E:650.339,91-C:549,2**, prolonga en línea recta con dirección suroeste pasando por **P36** de coordenadas **N:1.140.256,91-E:650.093,31-C:548,8**, hasta el punto **P37** de coordenadas **N:1.140.107,68-E:650.016,96-C:522,1**, se mantiene en curva de nivel hasta el punto **P38** de coordenadas **N:1.140.031,80-E:650.084,07-C:519,92**, continua en línea recta con dirección sureste hasta el punto **P39** de coordenadas **N:1.139.903,99-E:650.121,00-C:502,6**, cambia a dirección noreste en línea recta hasta el punto **P40** de coordenadas **N:1.140.013,95-E:650.276,42-C:499,2**, prosigue en dirección sureste en línea recta hasta el punto **P41** de coordenadas **N:1.140.006,32-E:650.299,10-C:499,9**, de allí avanza en línea recta con dirección noreste hasta el punto **P42** de coordenadas **N:1.140.414,99-E:650.684,00-C:506,4**, prosigue en línea recta con dirección sureste hasta el punto **P43** de coordenadas **N:1.140.358,99-E:650.763,00-C:502,3**, se mantiene por la margen izquierda de la Av. Circunvalación hasta llegar al punto **P44** de coordenadas **N:1.139.743,97-E:650.564,32-C:491,8**, prosigue en línea recta con dirección sureste hasta el punto **P45** de coordenadas **N:1.139.673,99-E:650.614,08-C:495,9**, de allí continua en línea recta con



dirección suroeste hasta el punto **P46** de coordenadas **N:1.139.640,99-E:650.553,00-C:499,5**. Prosigue en línea de pendiente uniforme (**LPU**) hasta el punto **P47** de coordenadas **N:1.139.562,69-E:650.483,52-C:492,6**, de allí prosigue en línea recta con dirección sureste hasta llegar al punto **P48** de coordenadas **N:1.139.486,02-E:650.498,61-C:483,8**; se mantiene en curva de nivel hasta el punto **P49** de coordenadas **N:1.139.506,69-E:650.547,13-C:485,0**, cruza en línea recta con dirección noreste hasta el punto **P50** de coordenadas **N:1.139.636,04-E:650.643,68-C:498,3**, de allí en línea recta con dirección noreste pasando por el punto **P51** de coordenadas **N:1.139.669,91-E:650.641,85-C:506,0**, hasta llegar al punto **P52** de coordenadas **N:1.139.695,61-E:650.755,38-C:496,3**, continúa a nivel hasta el punto **P53** de coordenadas **N:1.139.372,99-E:650.794,00-C:496,3**, prosigue en (**LPU**) hasta el punto **P54** de coordenadas **N:1.139.468,37-E:650.967,56-C:493,0**, se prolonga en línea recta con dirección sureste pasa por el punto **P55** de coordenadas **N:1.139.412,99-E:651.064,00-C:512,1**, hasta llegar al punto **P56** de coordenadas **N:1.139.319,59-E:651.107,60-C:500,0**, de allí cambia en línea recta con dirección suroeste pasando por el punto **P57** de coordenadas **N:1.139.238,60-E:651.072,72-C:500,5**, hasta llegar al punto **P58** de coordenadas **N:1.138.976,99-E:650.869,00-C:485,7**, continua en línea recta con dirección hacia el sur pasando por los puntos **P59** de coordenadas **N:1.138.860,99-E:650.880,00-C:483,6**, **P60** de coordenadas **N:1.138.714,10-E:650.866,70-C:483,2**, hasta llegar al punto **P61** de coordenadas **N:1.138.656,03-E:650.821,03-C:474,9**, de allí se mantiene a nivel hasta el punto **P62** de coordenadas **N:1.138.553,84-E:650.705,40-C:474,9**, de allí continua en línea recta hasta el punto **P63** de coordenadas **N:1.138.442,51-E:650.716,35-C:466,0**, prosigue hasta la cerca del colegio Cristo Rey hasta llegar al punto **P64** de coordenadas **N:1.138.406,79-E:650.867,96-C:459,9**, continua en línea recta hasta el punto **P65** de coordenadas **N:1.138.363,99-E:650.901,00-C:459,81**, de allí sigue en línea recta con dirección sureste pasando por el punto **P66** de coordenadas **N:1.138.371,99-E:650.999,00-C:470,9**, hasta llegar al punto **P67** de coordenadas **N:1.138.394,99-E:651.133,00-C:474,7**, se mantiene a nivel hasta el punto **P68** de coordenadas **N:1.138.178,86-E:651.241,22-C:474,7**, avanza en línea recta dirección sureste pasando por el punto **P69** de coordenadas **N:1.138.062,99-E:651.311,99-C:472,0**, hasta llegar al punto **P70** de coordenadas **N:1.138.032,99-E:651.342,00-C:469,9**, luego cambia de dirección en recta hacia el suroeste pasando por el punto **P71** de coordenadas **N:1.137.921,99-E:651.350,00-C:469,4**, hasta el punto **P72** de coordenadas **N:1.137.891,99-E:651.312,99-C:462,5**, continuando a nivel llega al punto **P73** de coordenadas **N:1.137.471,13-E:651.399,09-C:462,5**, hasta el **P74** de coordenadas **N:1.137.313,65-E:651.572,21-C:462,5**. De allí sigue bordeando el

cerro de Fitotecnia en el campo experimental del Instituto de Investigaciones Científicas INEA hasta el punto **P75** de coordenadas **N:1.136.488,00-E:651.469,00-C:450,0**, luego continua en dirección sureste hasta el **P76** de coordenadas **N:1.136.215,00-E:651.579,00-C:447,0** ubicado en el borde de la acera ,continua en dirección oeste hacia el **P77** de coordenadas **N:1.136.201,00-E:651.333,00-C:447,00** ubicado en la acera esquina de la chocolatería , de allí continua con dirección por la pared de la U.C.V. hasta el **P78** de coordenadas **N:1.136.503,00-E:651.798,00-C:443,5** ubicado en la Av. Universidad con Av. Ramón Narváez

Final del lindero Este.

**POR EL SUR:** Desde el punto anteriormente descrito cruza en la Av. Universidad hasta el **P79** de coordenadas **N: 1.135.503,00-E: 651.742,00-C: 443,0**, manteniéndose por el brocal de la acera hasta llegar al **P80** de coordenadas **N: 1.134.859,00-E: 651.623,00-C: 442,5**, cambia de dirección noroeste por el fondo de las casas hasta el **P81** de coordenadas **N: 1.134.931,00-E: 651.127,00-C: 442,5** ubicado en la mitad de la calle Colon. Luego se prolonga en la misma dirección por el fondo de las casas hasta el **P82** de coordenadas **N: 1.134.955,00-E: 650.951,00-C: 442,5** ubicado en el brocal de la acera, en la calle Brasil. Avanzando en sentido norte hacia la Avenida 1 por el brocal acera hasta el **P83** de coordenadas **N: 1.134.969,00-E: 650.953,00-C: 442,7**. De allí cambia de sentido al noroeste hasta el **P84** de coordenadas **N: 1.134.985,00-E: 650.839,00-C: 442,5** ubicado en el brocal acera. Cambia la dirección al sur hasta el **P85** de coordenadas **N: 1.134.967,00-E: 650.838,00-C: 442,2** ubicado en el brocal acera en la calle México. Luego se prolonga en línea recta en dirección oeste por el fondo de las parcelas pasando por el **P86** de coordenadas **N:1.135.023,00-E:650.449,00-C:442,4** hasta el **P87** de coordenadas **N:1.135.051,70-E:650.224,70-C:442,5** en la esquina de la pared perimetral de la Compañía Anónima Venezolana de Industrias Militares (CAVIM) .Continuando por la pared perimetral pasando por el **P88** de coordenadas **N:1.134.136,22-E:650.421,79-C:440,1** **P89** de coordenadas **N:1.134.121,36-E:650.351,70-C:440,0** hasta llegar al **P90** de coordenadas **N:1.133.949,00-E:650.002,00-C:439,8** que hace esquina. Para luego avanzar en sentido noroeste pasando por los puntos **P91** de coordenadas **N:1.133.966,00-E:649.955,00-C:439,7** **P92** de coordenadas **N:1.134.128,00-E:649.716,00-C:439,9** Y **P93** de coordenadas **N:1.134.220,00-E:649.489,00-C:440,0**. De allí se prolonga hasta el eje de la autopista Regional del Centro en el **P94** de coordenadas **N:1.134.180,14-E:649.465,17-C:442,0**, Continuando por el eje hasta el **P95** de coordenadas **N:1.135.550,23-E:646.509,93-C:437,5** ubicado arriba del túnel. De allí

continúa en dirección noreste siguiendo por los puntos **P96** de coordenadas **N:1.135.701,99-E:646.549,38-C:437,5** **P97** de coordenadas **N:1.135.800,00-E:646.699,00-C:437,5** **P98** de coordenadas **N:1.135.786,37-E:646.951,71-C:438,0** hasta el **P99** de coordenadas **N:1.135.850,60-E:647.044,72-C:440,0**. Luego toma dirección hacia el suroeste pasando por los puntos **P100** de coordenadas **N: 1.135.797,37-E: 647.326,86-C: 460,0** **P101** de coordenadas **N: 1.135.657,88-E: 647.533,92-C: 450,0** hasta el **P102** de coordenadas **N: 1.135.557,52-E: 647.628,50-C: 437,5**. Se mantiene por el camino carretero hasta el **P103** de coordenadas **N:1.135.468,23-E:647.838,19-C:436,0**. Luego de allí se mantiene en sentido sureste pasando por los puntos **P104** de coordenadas **N:1.135.403,83-E:647.889,28-C:434,2** **P105** de coordenadas **N:1.135.268,04-E:647.969,49-C:437,5**, **P106** de coordenadas **N:1.135.216,64-E:648.032,30-C:437**, **P107** de coordenadas **N:1.135.090,10-E:648.049,82-C:434,5** **P108** de coordenadas **N:1.135.003,33-E:648.055,60-C:440,0**. De allí cambia de dirección hacia el suroeste hasta el **P109** de coordenadas **N: 1.134.967,91-E: 648.017,83-C: 431,5**. A partir del cual cambia su sentido hacia el sureste pasando por los puntos **P110** de coordenadas **N:1.134.811,66-E:648.200,32-C:433,5**, **P111** de coordenadas **N:1.134.614,19-E:648.286,07-C:435,0**, hasta el **P112** de coordenadas **N:1.134.574,35-E:648.334,56-C:435,5**. Luego cambia de sentido hacia el este hasta el **P113** de coordenadas **N: 1.134.579,75-E: 648.461,06-C: 437,0**. A partir de allí cambia de dirección hacia noreste hasta el **P114** de coordenadas **N: 1.134.422,11-E: 648.678,44-C: 437,0**. Para continuar en sentido sureste por el **P115** de coordenadas **N: 1.134.375,17-E: 648.857,11-C: 438,5**, donde cambia de dirección hacia el noreste hasta el **P116** de coordenadas **N: 1.134.567,99-E: 649.087,00-C 441,0**

Final del lindero SUR.

**POR EL OESTE:** Desde el punto **P116** continúa dentro de terrenos de CAVIM; para continuar por la carretera interna que va por el pie de cerro hasta el punto **P117** de coordenadas **N:1.135.155,79-E:648.480,40-C:446,3**, asciende en línea recta con dirección noroeste hasta el punto **P118** de coordenadas **N: 1.135.293,32-E: 648.315,92-C:456.25**, de allí prosigue con dirección noreste en línea recta pasando por el punto **P119** de coordenadas **N: 1.135.447,48-E: 648.529,59-C:456,1**, hasta llegar al punto **P120** de coordenadas **N: 1.135.597,73-E: 648.480,39-C:456.25**, se mantiene en línea recta hacia el noreste hasta el punto **P121** de coordenadas **N: 1.135.785,66-E: 648.673,31-C:456.25**, avanza hacia el noreste al punto **P122** de coordenadas **N: 1.135.819,72-E: 648.834,89 -C: 456.25**, cambia de dirección al sureste hasta el **P123** de



coordenadas **N:1.135.679,99-E: 648.987,00 -C:477,3**; prosigue al noreste hasta el punto **P124** de coordenadas **N: 1.135745,83-E: 649.117,15 -C:462,5**, de allí toma dirección sureste hasta el punto **P125** de coordenadas **N:1.135.660,22-E:649.224,84-C:470,3**,De allí cambia de sentido al noreste pasando por los puntos **P126** de coordenadas **N: 1.135.830,98-E: 649.480.48-C:479.00** hasta el **P127** de coordenadas **N: 1.135.887.53-E: 649.602,90-C:446,00**, asciende dirección al noroeste en línea recta hasta el punto **P128** de coordenadas **N: 1.136.069.62 -E: 649.457,27-C:483,7**,de allí cambia de dirección al noreste y pasando por los puntos **P129 N: 1.136.087,99 -E: 649.115,00-C:475,7 de coordenadas P130 N: 1.136.099.99-E: 649.006,00-C:483,7 de coordenadas P131 de coordenadas N: 1.136.196.99-E: 648.947.00-C:483,7**, luego toma dirección noreste pasando por los puntos **P132** de coordenadas **N: 1.136.226,99-E: 649.007,00-C:480,1 P133** de coordenadas **N:1.136.285,99-E:649.313,00-C:460,1, P134** de coordenadas **N:1.136.431,99-E:649.465,00-C:457,9**, hasta el punto **P135** de coordenadas **N:1.136.615,99-E:649.524,00-C:484,2**, desciende en línea recta hasta el punto **P136** de coordenadas **N1 136.540,33:-E: 649.725,20-C:450,3**, de allí con dirección noreste en línea recta hasta el punto **P137** de coordenadas **N: 1.136.861,80-E: 649.735,02-C:445,0**,luego cambia de dirección al noroeste en línea recta pasando por el **P138 N:1.136.844,99-E:649.679,00-C:461,5**,hasta el **P139** de coordenadas **N:1.136.874,99-E:649.637,00-C:461,2**, para luego ascender en línea recta con dirección suroeste al punto **P140** de coordenadas **N:1.136.836,74-E:649.585,28-C:460,0**, se mantiene a nivel hasta el punto **P141** de coordenadas **N:1.137.092,99-E:649.325,00-C:460,0**, de allí prolonga en rectas con dirección noroeste por los puntos **P142** de coordenadas **N:1.137.125,83-E:649.149,38-C:466,3, P143** de coordenadas **N:1.137.105,71-E:649.086,47-C:469,9, P144** de coordenadas **N:1.137.193,70-E:648.936,71-C:467,2, P145** de coordenadas **N: 1.137.134,72-E:648.826,64-C:483,9, P146** de coordenadas **N:1.137.139,05-E:648.744,00-C:486,9**, hasta el punto **P147** de coordenadas **N:1.137.228,99-E:648.653,00-C:482,9**, de allí continua en línea recta con dirección suroeste pasando por el punto **P148** de coordenadas **N:1.137.189,99-E:648.571,00-C:486,5**, hasta el punto **P149** de coordenadas **N:1.137.179,31-E:648.503,35-C:487,3**, cambia de dirección al noreste y prosigue en recta pasando por el punto **P150** de coordenadas **N:1.137.286,66-E:648.500,79-C:485,9**, hasta el punto **P151** de coordenadas **N:1.137.340,99-E:648.579,00-C:486,1**, se mantiene en línea recta con dirección al noroeste hasta el punto **P152** de coordenadas **N:1.137.362,93-E:648.545,54-C:485,6**, de allí en línea recta con dirección noreste hasta el punto **P153** de coordenadas **N:1.137.477,28-E:648.671,24-C:478,6**, continua en curva de nivel hasta el punto **P54** de coordenadas

**N:1.137.589,99-E:648.658,00-C:478,6**, para proseguir en línea recta con dirección noroeste hasta el punto **P155** de coordenadas **N:1.137.617,99-E:648.592,00-C:480,4**, de allí se mantiene en línea recta con dirección noreste a través de los puntos **P156** de coordenadas **N:1.137.669,99-E:648.591,00-C:480,2**, **P157** de coordenadas **N:1.137.686,99-E:648.604,00-C:479,0**, **P158** de coordenadas **N:1.137.737,99-E:648.593,00-C:478,3**, hasta llegar al **P159** de coordenadas **N:1.137.786,99-E:648.589,00-C:478,1**, para continuar en recta con dirección noroeste pasando por el punto **P160** de coordenadas **N:1.137.799,99-E:648.566,00-C:484,2**, hasta el **P161** de coordenadas **N:1.137.818,99-E:648.507,00-C:487,2**, de allí parte en línea recta y con dirección noreste al punto **P162** de coordenadas **N:1.137.856,69-E:648.513,42-C:487,3**, prosigue en línea recta con dirección este franco al punto **P163** de coordenadas **N:1.137.866,36-E:648.575,01-C:482,2**, cruza en línea recta con dirección noreste pasando por el punto **P164** de coordenadas **N:1.137.925,62-E:648.608,52-C:490,6**, hasta el punto **P165** de coordenadas **N:1.137.937,61-E:648.658,47-C:497,9**, desciende en línea recta con dirección sureste hasta el punto **P166** de coordenadas **N:1.137.894,99-E:648.668,00-C:486,5**, para proseguir en línea recta con dirección sureste al punto **P167** de coordenadas **N:1.137.892,99-E:648.722,00-C:483,2**, se mantiene en línea recta con dirección noreste pasando por el punto **P168** de coordenadas **N:1.137.910,99-E:648.759,00-C:474,2**, hasta llegar al punto **P169** de coordenadas **N:1.137.944,99-E:648.780,00-C:473,9**, de allí cambia en línea recta y con dirección sureste hasta llegar al punto **P170** de coordenadas **N:1.137.948,99-E:648.865,00-C:470,6**, asciende en recta con dirección noreste hasta el punto **P171** de coordenadas **N:1.137.996,07-E:648.902,19-C:473,3**, para cambiar en línea recta y con dirección sureste pasando por el punto **P172** de coordenadas **N:1.137.967,91-E:648.929,32-C:470,9**, hasta el punto **P173** de coordenadas **N:1.137.951,05-E:649.074,44-C:466,0**, se mantiene en curva de nivel hasta el punto **P174** de coordenadas **N:1.137.928,40-E:649.202,80-C:466,0**, se proroga en línea recta y con dirección noreste hasta el punto **P175** de coordenadas **N:1.137.957,38-E:649.275,83-C:466,1**, de allí parte en línea recta con dirección sureste pasando por el punto **P176** de coordenadas **N:1.137.930,34-E:649.322,40-C:471,1**, hasta llegar al punto **P177** de coordenadas **N:1.137.921,99-E:649.406,00-C:464,7**, continua en curva de nivel hasta el punto **P178** de coordenadas **N:1.137.987,57-E:649.466,84-C:464,7**, desciende en línea recta y con dirección sureste hasta el punto **P179** de coordenadas **N:1.137.986,99-E:649.545,00-C:460,5**, para proseguir en línea recta con dirección noreste hasta el punto **P180** de coordenadas **N:1.138.044,99-E:649.584,00-C:460,0**, se prolonga en línea recta con dirección sureste hasta el punto **P181** de coordenadas **N:1.137.963,99-**

E:649.700,00-C:459,0, de allí sigue en línea recta con dirección noreste al punto **P182** de coordenadas **N:1.138.093,60-E:649.883,32-C:459,4**, Entra en la parroquia El Limón en línea recta y con dirección noroeste continua por el lindero del parque río el Limón **P183** de coordenadas **N:1.138.278,87-E:649.583,85-C:473,8**, **P184** de coordenadas **N:1.138.467,01-E:648.975,66-C:480,9**, hasta el punto **P185** de coordenadas **N:1.138.468,23-E:648.861,85-C:468,9**, de allí parte en línea recta con dirección sureste por los puntos **P186** de coordenadas **N:1.138.406,99-E:648.851,00-C:485,5**, y **P187** de coordenadas **N:1.138.375,99-E:648.797,00-C:479,2**, hasta llegar al punto **P188** de coordenadas **N:1.138.366,99-E:648.723,00-C:482,4**, prosigue en línea recta y con dirección noroeste por los puntos **P189** de las coordenadas **N:1.138.400,99-E:648.637,00-C:492,1**, y **P190** de coordenadas **N:1.138.426,99-E:648.509,00-C:486,8**, hasta llegar al **P191** de coordenadas **N:1.138.460,99-E:648.426,00-C:494,7**, para continuar en línea recta y con dirección noreste por los puntos **P192** de coordenadas **N:1.138.528,99-E:648.462,00-C:486,0**, **P193** de coordenadas **N:1.138.587,99-E:648.516,00-C:484,3**, **P194** de coordenadas **N:1.138.634,99-E:648.583,00-C:486,5**, **P195** de coordenadas **N:1.138.713,99-E:648.622,00-C:478,2**, hasta el punto **P196** de coordenadas **N:1.138.769,99-E:648.628,00-C:480,9**, se prolonga en línea recta con dirección noroeste hasta el **P197** de coordenadas **N:1.138.829,64-E:648.589,07-C:484,5**, de allí sigue en línea recta con dirección noreste hasta el punto **P198** de coordenadas **N:1.138.862,99-E:648.609,00-C:481,6**, continuando en línea recta con dirección noreste por los puntos **P199** de coordenadas **N:1.138.864,99-E:648.635,00-C:481,5**, **P200** de coordenadas **N:1.138.919,99-E:648.725,00-C:490,8**, hasta el punto **P201** de coordenadas **N:1.138.947,99-E:648.795,00-C:488,6**, desciende en línea recta con dirección sureste hasta el punto **P202** de coordenadas **N:1.138.940,99-E:648.845,00-C:472,0**, se prorroga con sentido al norte en línea recta al punto **P203** de coordenadas **N:1.138.973,99-E:648.843,00-C:474,5**, prosigue en línea recta y con dirección noroeste al punto **P204** de coordenadas **N:1.138.975,99-E:648.805,00-C:484,8**, se cambia a dirección noreste en línea recta al **P205** de coordenadas **N:1.139.084,99-E:648.808,00-C:483,5**, de allí parte en línea recta con dirección noroeste por los puntos **P206** de coordenadas **N:1.139.091,99-E:648.772,00-C:488,4**, **P207** de coordenadas **N:1.139.203,99-E:648.714,00-C:504,3**, hasta el punto **P208** de coordenadas **N:1.139.250,99-E:648.646,99-C:499,6**, se prolonga en línea recta con dirección noreste por los puntos **P209** de coordenadas **N:1.139.320,99-E:648.682,00-C:491,0**, **P210** de coordenadas **N:1.139.398,77-E:648.772,49-C:492,7**, **P211** de coordenadas **N:1.139.423,99-E:648.860,00-C:488,1**, **P212** de

coordenadas **N:1.139.469,99-E:648.890,00-C:483,3**, hasta el punto **P213** de coordenadas **N:1.139.536,88-E:648.884,14-C:498,8**, para continuar en línea recta con dirección noroeste hasta el punto **P214** de coordenadas **N:1.139.586,29-E:648.809,95-C:489,9**, prosigue en línea recta con dirección noroeste al punto **P215** de coordenadas **N:1.139.650,45-E:648.826,40-C:498,8**, desciende en línea recta con dirección este franco al punto **P216** de coordenadas **N:1.139.659,34-E:648.966,41-C:477,2**, ubicado al borde del río el Limón, de allí continua por el río el Limón aguas arriba hasta llegar al punto **P217** de coordenadas **N:1.140.280,77-E:648.637,46-C:500,0**, se prorroga en línea recta con dirección noroeste por los puntos **P218** de coordenadas **N:1.140.424,99-E:648.487,00-C:508,5**, **P219** de coordenadas **N:1.140.531,99-E:648.440,00-C:510,4**, hasta llegar al punto **P220** de coordenadas **N:1.140.582,11-E:648.425,46-C:509,2**, asciende por la Quebrada Seca aguas arriba hasta llegar a un punto ubicado en la acera del cajón de dicha quebrada cercano al puesto de la Guardia comenzando la carretera el Limón Ocumare **P221** de coordenadas **N:1.140.662,31-E:648.513,61-C:516,7**, donde se cierra la poligonal con el punto **P1** de coordenadas **N:1.140.672,54-E:648.500,69-C:517,4**.

Final del lindero Oeste.

### **Redacción de la poligonal municipal propuesta definida por medio de accidentes orográficos**

- 1. Norte:** Limita con los municipios Ocumare de la costa de Oro y Girardot, del estado Aragua. Parte del punto de coordenadas, que se encuentra en la Serranía Litoral de la Cordillera de la costa, aproximadamente a 1360 metros sobre el nivel del mar (msnm), y a 1350 m al noreste de Pico Periquito, en el sitio de trivorcio de aguas del Río La Trilla, Río El Limón ó Tapa Tapa y la Quebrada Higuerote; continúa descendiendo por la divisoria de aguas rumbo noreste hasta llegar a 3 m del borde sur de la carretera estatal Maracay – Ocumare de la Costa de Oro, en el sitio de Portachuelo de Rancho Grande, de allí cruza la vía y asciende al norte por la misma serranía, hasta llegar al topo sin nombre, que se encuentra a unos 1.510 msnm, y aproximadamente 700 m al norte de la Estación Experimental Rancho Grande U.C.V.; de allí sigue por la serranía divisorias de aguas, hasta el Pico Guacamaya, continúa rumbo general este por dicha serranía hasta el Pico Chimborazo, donde se encuentra un vértice geodésico; avanza por la serranía rumbo sureste hasta el sitio de Piedra La Turca en el punto de trivorcio de aguas de las quebradas: Romerito, El Castaño y El Manguito; se desvía de la

serranía Litoral, rumbo sureste por la fila divisoria de aguas entre las cuencas del río El Manguito y el río El Castaño, hasta llegar al punto cumbre de la cuenca del Río Güey, fin del lindero norte.

2. **Este:** Limita con el municipio Girardot, desde el punto referido anteriormente, cruza rumbo suroeste por la Fila Corral de Piedras hasta un tope donde se encuentra el vértice La Trinidad, localizado en la cabecera de la quebrada Valle Verde; continúa rumbo suroeste por la fila que en este tramo se denomina Los Capuchinos, desciende por la divisoria de aguas de dicha fila, hasta llegar al pie de cerro en un punto localizado 65 m al sureste del sitio de Los Arcos Capuchinos (Patrimonio Cultural del Municipio), adyacente a una bifurcación del camino carretero interno del Campo Experimental del Centro de Investigación Agrícola y Pecuaria (CENIAP); recorre serpenteando por el pie del Cerro de Fitotecnia, hasta un punto donde termina la vía interna del CENIAP, de allí prosigue por el camino carretero bordeando los terrenos del colegio La Trinidad, hasta llegar al costado norte de la acera de la Universidad Central de Venezuela (UCV) Facultad de Ciencias Veterinarias, diagonal al Laboratorio de Microbiología, cruza al oeste por el borde de la acera hasta la puerta norte de la UCV, donde se encuentra un samán inclinado en el borde de la misma en la Avenida Universidad; de allí cruza rumbo suroeste por la pared lindero de la UCV, pasa la entrada peatonal de la misma, continúa por la pared unos 80 metros hasta llegar al rallado de la Av. Universidad, luego cruza al suroeste las avenidas Universidad y Ramón Narváez, por el lado sur del triángulo isla, prosigue hasta el borde oeste de la Avenida Ramón Narváez, continúa bordeando el sector 12 y 13 de la Urbanización Caña de Azúcar, cruza la avenida 03 por el borde oeste de la misma, hasta llegar a la intersección de la pared que divide al sector 13 UD-17 de la urbanización Caña de Azúcar, con la Urbanización La Coromoto del Municipio Girardot, fin del lindero este.
3. **Sur:** Limita con el Municipio Girardot, del punto anteriormente referido, prosigue por la pared divisoria sentido oeste, hasta llegar al punto donde interseca con la acera de la calle Colón, continúa en dirección general oeste por la pared que separa la urbanización José Félix Ribas de la Urbanización La Coromoto hasta llegar al brocal de la acera de la calle Brasil, de allí continúa bordeando por el norte de la Escuela Básica José María Benítez hasta coincidir con la esquina de la pared de fondo que separa las Urbanizaciones mencionadas, cruza al oeste por la pared hasta llegar a la



Avenida Los Jabillos, continúa rumbo oeste hasta la entrada de la nueva Urbanización El Arsenal; prosigue rumbo oeste por la pared que deslinda la referida urbanización hasta llegar a la esquina con los terrenos de la Compañía Anónima Venezolana de Industria Militar (CAVIM), de allí cruza rumbo general sur por el lindero que separa los terrenos de CAVIM de la Urbanización Coromoto, hasta un punto de dicha pared que se entrecorta con el borde norte de la calle 103 de la Urbanización La Coromoto, prosigue rumbo sur por dicha pared hasta 10 metros al borde norte de la acera de la Avenida Bolívar de Maracay, cruza en dirección suroeste, paralelo a la Av. Bolívar, pasa al sur de la vieja Urbanización El Arsenal, hasta un punto localizado aproximadamente a 35 metros al suroeste de la Armería de CAVIM, de allí cruza al noroeste rozando la garita de entrada principal de CAVIM, continúa por el borde sur de la vía interna, cruza el puente nuevo sobre el Río TAPA TAPA o El Limón, en su lado sur, continúa rumbo noroeste por el borde sur de la vía interna de CAVIM hasta llegar a la base del terraplén de adyacente a la ferrovía, sigue por el borde norte del terraplén hasta el pie de cerro en la estribación de la Fila de CAVIM, asciende por la ladera hasta un topito sin nombre al comienzo de la fila a 510 msnm, remonta rumbo noroeste por la referida fila que acompaña al cortafuego hasta un punto sobre la fila que se encuentra a 50 metros al oeste del letrero de CAVIM, continúa en ascenso por la fila, rumbo noroeste, hasta un segundo topo sin nombre con una altura aproximada de 805 msnm, donde el lindero encaja con la Fila La Cabrera, fin del lindero sur.

4. **Oeste:** Limita con el Municipio Diego Ibarra del Estado Carabobo. Desde el topo referido anteriormente, cruza hacia el norte por la fila de la Cabrera hasta el Picacho de La Guaricha a una altura aproximada de 849 msnm, continúa rumbo al norte hasta el topo Teta de Mata Seca que se encuentra aproximadamente a 870 msnm, sigue por la Fila La Cabrera acompañado por un cortafuego, hasta la intersección con la vía que viene de la calle Los Próceres del Barrio Mata Seca, a 10 metros de un árbol adulto de eucalipto (*Eucalyptus sp.*), prosigue por la Fila La Cabrera rumbo noroeste hasta el Cerro Picacho del Rincón, persiste el lindero por la fila referida, serpenteando el cortafuego, hasta llegar a una pequeña terraza sobre la fila la cual funciona como helipuerto de emergencia, se prolonga hasta un topo alargado, asciende por la fila rumbo noroeste hasta alcanzar a la Serranía litoral de la Cordillera de la Costa, fin del

lindero Oeste.

**Mapa temático**

Estas poligonales se plasmaron en un mapa temático municipal, con la información de la capa base topográfica y predial del municipio además, la hidrografía principal, vías principales,

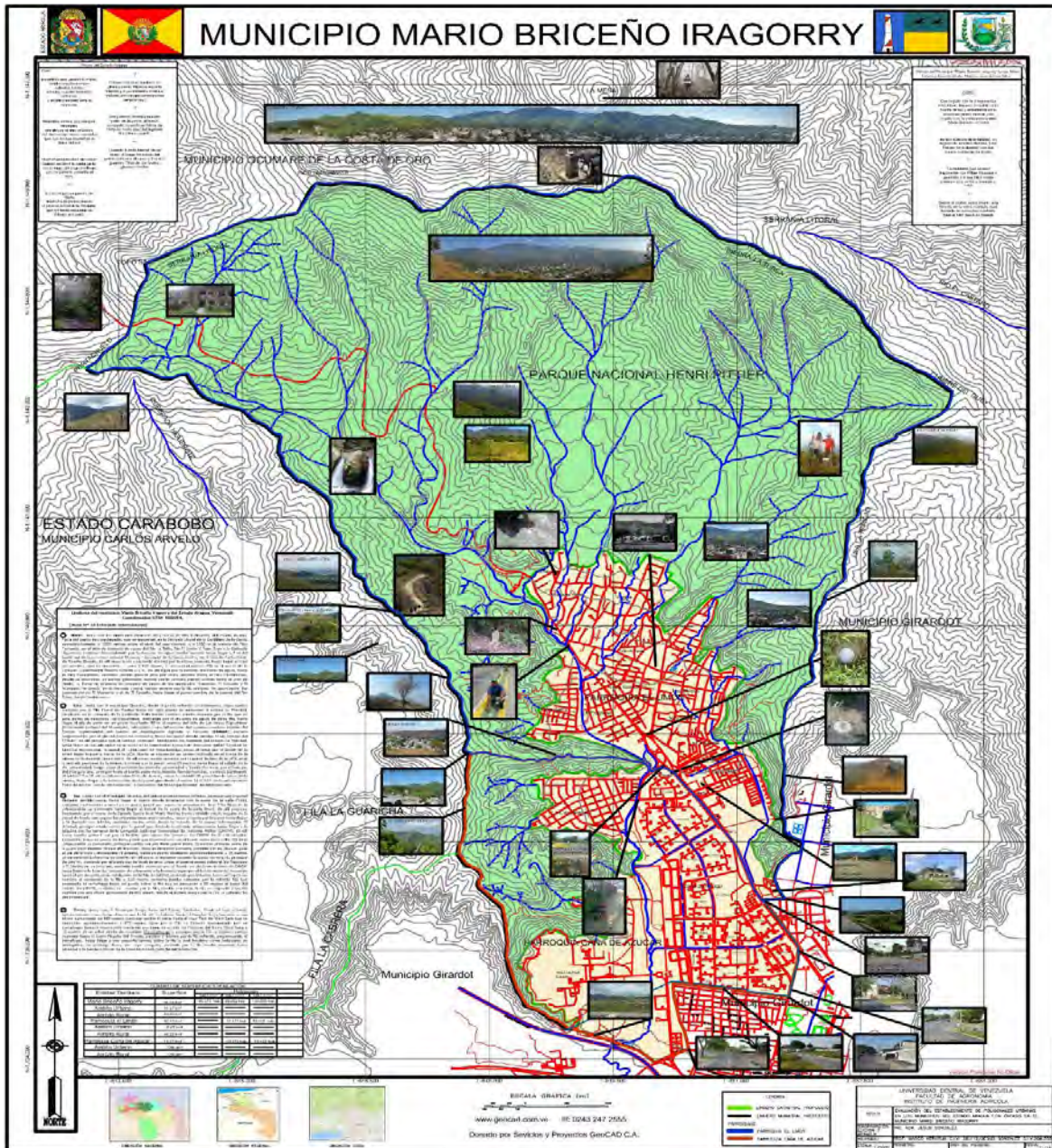


Gráfico 7. Mapa temático del Municipio con las poligonales propuestas y sus áreas.

Fuente: Servicios y Proyectos GeoCAD.C.A.2017.



## Conclusiones

linderos parroquiales, áreas de parque, entre otras informaciones de interés. Como se aprecia en la gráfico 7.

La mayoría de los municipios del estado Aragua carecen de poligonales catastrales sobre todo los que presentan poblados pequeños en zonas rurales, que ayuden a la determinación de políticas urbanas acordes a los planes de desarrollo, sobre todo para la definición de los linderos urbanos y rurales muy importante para la recolección de impuestos y valoración de los predios.

Asimismo encontramos que muy pocos municipios han elaborado su plan de desarrollo urbano local (PDUL), debido al poco o ningún interés prestado por las autoridades municipales a la planificación urbana.

La propuesta de los linderos del municipio Mario Briceño Iragorry están definidos de manera más exacta, con coordenadas en el Datum de la Red Geodésica Venezolana a diferencia de los actuales que se encuentra en el Datum La Canoa, Además se agregaron mayor cantidad de topónimos y límites como son: culturales terrestres, montañosos, acuáticos, viales. Bajo los criterios de: altas cumbres, divisoria de aguas y líneas de vertiente.

Se observó que en algunos sectores perimetrales al parque la comunidad tiene una participación importante en el cuidado y mantenimiento del mismo, impidiendo el crecimiento de construcciones en estas áreas a través de barreras naturales como son: franjas verdes en algunos casos, y cortafuegos en otros.

La poligonal del parque Nacional Henri Pittier es escueta en cuanto a su demarcación y definición; presenta, además, pocas marcas visibles o mojones en el terreno, lo que hace difícil su ubicación y delimitación.

Con esta propuesta se quiere llevar al municipio a una mejor gestión catastral de su territorio, y con la aprobación de esta propuesta en la Cámara Municipal, se podrán recuperaran 85.10 hectáreas de parque que se encuentran susceptibles a ser convertidas a urbanas, quedando 22.89 hectáreas irremediamente perdidas por invasiones ya establecidas con muchos años de anterioridad.

## Referencias bibliográficas

- Arretureta, L. (2002). Conflictos de uso de la tierra en el sector norte del municipio M.B.I. El Limón. Trabajo de Grado realizado para optar al Título de Ingeniero Agrónomo. UCV. Facultad de Agronomía. Maracay – Venezuela. 64 P.
- Azpúrua, C. (1995). Determinación de la poligonal del área protectora de la ciudad de Valencia. Instituto autónomo Municipal de conservación de los recursos naturales. Valencia-Venezuela. 195 P.
- Azpúrua, M. (1991). La Cartografía y su contribución en la formulación de programas y proyectos agrícolas. Estudio de caso: Programa de Lagunas Sur del estado Aragua. Trabajo de ascenso para profesor Instructor en el escalafón del docente universitario de la Facultad de Agronomía de la UCV. Maracay – Venezuela. 200 P.
- Boville, Belén; Sánchez-González, Diego (2007). Planificación Territorial y Desarrollo Sostenible en México, Perspectiva Comparada / Planning and Sustainable Development in Mexico, Comparative Perspective. Universidad de Barcelona-Universidad Autónoma de Tamaulipas. p. 465. ISBN 978-84-611-9500-8.
- Estrada, R. (2012). Elaboración de una propuesta de edición del Mapa de codificación catastral del estado Aragua, Venezuela. Trabajo de Grado realizado para optar al Título de Ingeniero Agrónomo. UCV. Facultad de Agronomía. Maracay – Venezuela. 198 P.
- Flores, F. (2006). La geomática como herramienta de apoyo a la gestión del territorio municipal en Venezuela. Trabajo de Maestría. UCV. Facultad de Ciencias Económicas y sociales. Caracas – Venezuela. 91 P.
- González, J. (2009). Desarrollo del catastro digital usando la geomática en el sector de Camburito del municipio Linares Alcántara del estado Aragua. Trabajo de Grado realizado para optar al Título de Ingeniero Agrónomo. UCV. Facultad de Agronomía. Maracay – Venezuela. 54 P.
- Lunar, M. (1986). La automatización cartográfica del catastro geométrico. I Congreso Nacional de Fotogrametría, Percepción Remota y Cartografía. Sociedad Venezolana de Fotogrametría, Percepción Remota y Cartografía. Universidad de los Andes. Mérida – Venezuela.
- Misler, C. (2000). Aplicación de una metodología con empleo de los sistemas de Información geográfica, a la gestión catastral en municipios rurales. Trabajo de Grado realizado

para optar al Título de Ingeniero Agrónomo. UCV. Facultad de Agronomía. Maracay – Venezuela. 105p.

Nava, R. (1970). Diferentes métodos para un buen trazado de curvas de nivel y cálculo racional de la equidistancia. Trabajo de ascenso para profesor Agregado en el escalafón del docente universitario de la Facultad de Agronomía de la UCV. Maracay.

Primera, N., López, M. y Montes de Oca, Y. (2000). Modernización de los sistemas de información en la Alcaldía de Maracaibo. ACADÉMICO, Vol. 1 N° 2. Recuperado el 8/08/2017de <http://unpan1.un.org/intradoc/groups/public/documents/CLAD/clad0038529.pdf>.

Salas, M. (2011). Ordenación del territorio en Venezuela: incoherencias y contradicciones actuales, Scielo, CDC v.28 n.76. Recuperado el 8/08/2017 de [http://www.scielo.org/ve/scielo.php?script=sci\\_arttext&pid=S1012-25082011000100002](http://www.scielo.org/ve/scielo.php?script=sci_arttext&pid=S1012-25082011000100002)